

## НАБЛЮДЕНИЕ ОБЛАСТЕЙ ДВУМЕРНОГО ЭЛЕКТРОННОГО ГАЗА В СЛОИСТОМ СЕЛЕНИДЕ ИНДИЯ

Г.Л.Беленький, М.О.Годжаев, В.Н.Зверев

Обнаружены квантовые осцилляции в магнитном поле сопротивления слоистых кристаллов  $n$ -InSe при гелиевых температурах. Показано, что осцилляции обусловлены наличием в образцах областей с двумерной электронной проводимостью.

В настоящее время считается установленным, что электронные состояния, формирующие край фундаментального поглощения селенида индия, слабо анизотропны. Сильная анизотропия проводимости селенида индия и его аналогов не объясняется в рамках имеющихся сведений о зонной структуре и эффективных массах носителей тока в этих кристаллах<sup>1</sup>. Невозможно объяснить в рамках существующей зонной схемы и недавние работы по изучению циклотронного разонанса в InSe<sup>2, 3</sup>, интерпретируемые авторами на основе предположения о существовании областей двумерного электронного газа в этом кристалле. Перечисленные обстоятельства побудили нас провести экспериментальные исследования низкотемпературного магнитосопротивления селенида индия.

Эксперименты проводились на образцах  $n$ -InSe, изготовленных из монокристаллов, выращенных методом Бриджмена, с удельным сопротивлением при комнатной температуре ( $0,1 - 10^3$ ) Ом·см. На свежесковотой поверхности изготавливались низкоомные индивидуальные контакты. Измерения сопротивления проводились по четырехконтактной методике в плос-

кости скола перпендикулярно оси  $c$ . Образец помещался непосредственно в жидкий гелий в центр сверхпроводящего соленоида, дающего поле до 70 кЭ. Магнитосопротивление измерялось как в геометрии  $H \parallel c$ , так и в наклонном поле.

Для большинства образцов сопротивление  $R$  при понижении температуры в диапазоне 1,3–4,2 К возрастало, а при наложении магнитного поля наблюдалось положительное магнитосопротивление в полях, превышающих несколько килогардес. На ряде образцов зависимость  $R(H)$  оказалась осциллирующей. На рис. 1 эти осцилляции показаны для разных направлений вектора  $H$  относительно оси  $c$ . При отклонении  $H$  от нормали к плоскости слоев экстремумы смещаются в область больших полей, что видно из сравнения кривых 1 и 2. Положение экстремумов оказывается обратно пропорционально косинусам угла между векторами  $H$  и  $c$ . Это демонстрируется кривой 3, которая получена сжатием кривой 2 по оси абсцисс с коэффициентом, равным  $(\cos \alpha)^{-1}$  ( $\alpha = 43^\circ$ ). Таким образом, наблюдающиеся осцилляции магнитосопротивления определяются лишь компонентой вектора  $H$ , параллельной оси  $c$ , что свидетельствует о двумерном характере поведения электронов в этих образцах. Период осцилляций в шкале обратного магнитного поля менялся от образца к образцу в пределах  $(1,4 - 3,4) \cdot 10^{-5} \text{ Э}^{-1}$ . На образцах с  $\rho(300 \text{ K}) > 10 \Omega \cdot \text{см}$  осцилляции не наблюдались.

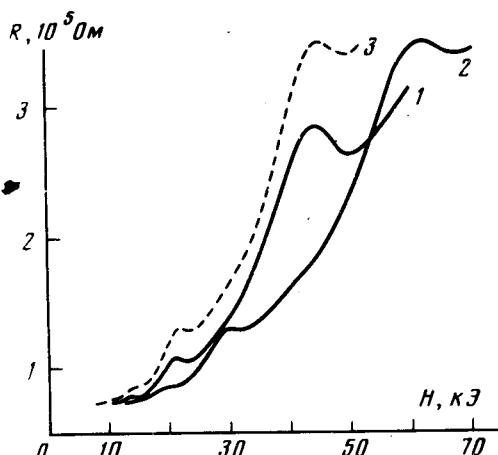


Рис. 1

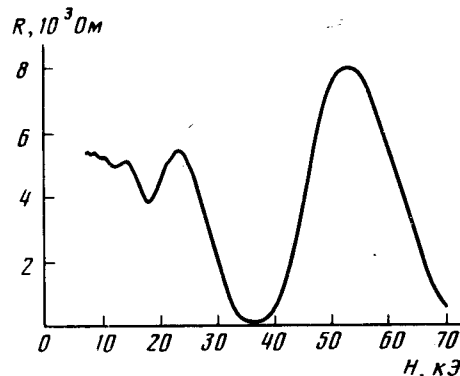


Рис. 2

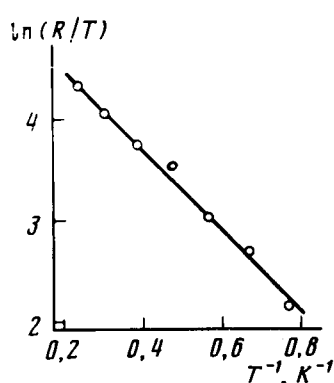


Рис. 3

Рис. 1. Осцилляции магнитосопротивления образца  $n$ -InSe при разных углах  $\alpha$  между векторами  $H$  и  $c$ : 1 –  $\alpha = 0$ ; 2, 3 –  $\alpha = 43^\circ$ . Для кривой 3 масштаб по оси абсцисс сжат в  $(\cos \alpha)^{-1}$  раз.  $T = 1,3 \text{ K}$

Рис. 2. Осцилляции магнитосопротивления образца  $n$ -InSe с "металлическим" характером проводимости.  $T = 1,3 \text{ K}$

Рис. 3. Температурная зависимость величины сопротивления в минимуме при  $H \approx 37 \text{ кЭ}$

Наиболее интересные результаты были получены на образце, зависимость  $R(H)$  для которого приведена на рис. 2. Сопротивление этого образца при  $H = 0$  практически не зависит от температуры ( $1,3 \text{ K} \leq T \leq 4,2 \text{ K}$ ), т. е. проводимость имеет металлический характер. На зависимости  $R(H)$  отсутствует монотонный ход, отвечающий положительному магнитосопротивлению, и наблюдаются осцилляции большой амплитуды. При  $T = 1,3 \text{ K}$  величина сопротивления в минимуме, расположенном в поле  $H \approx 37 \text{ кЭ}$ , оказывается примерно на два порядка мень-

ше, чем в соседнем максимуме, лежащем в больших полях. При увеличении температуры со- противление в минимуме возрастает по экспоненциальному закону (рис. 3).

Осцилляции Шубникова – де Гааза, показанные на рис. 2, имеют вид типичный для двумерного электронного газа. Наличие глубоких минимумов и активационная температурная зависимость сопротивления в них указывают на то, что в этих условиях имеет место локализация электронов, а наблюдаемая проводимость обусловлена термической активацией носителей в подвижные состояния на двух уровнях Ландау, между которыми расположен ферми-уровень. Согласно расчету<sup>4</sup> в исследованном нами диапазоне температур проводимость двумерных электронов в минимумах квантовых осцилляций должна описываться зависимостью

$$\sigma_{xx}^{min}(T) \sim T \exp [(\hbar\Omega - 2\Gamma)/2kT], \quad (1)$$

где  $\Omega = eH/mc$  – циклотронная частота электронов,  $\Gamma = \hbar\Omega\sqrt{2c/\pi\mu H}$  – величина, характеризующая уширение уровней Ландау,  $\mu$  – подвижность электронов. В условиях квантового эффекта Холла поперечная компонента тензора магнитосопротивления  $\rho_{xx} \propto \sigma_{xx}$ , поэтому зависимость (1) должна одновременно выполняться и для поперечного магнитосопротивления. Экспериментальные точки, описывающие зависимость  $R(T)$  в минимуме, хорошо интерполируются формулой (1), рис. 3. Это позволяет из наклона прямой на рис. 3, используя значение циклотронной массы электронов  $m = 0,13 m_0$ <sup>2</sup> определить значение  $\Gamma \approx 1,3$  мэВ и величину  $\mu \approx 10^4$  см<sup>2</sup>/В·с. Из периода осцилляций, показанных на рис. 2, для концентрации двумерных электронов получаем значение  $n \approx 2 \cdot 10^{11}$  см<sup>-2</sup>.

По нашему мнению, причина наблюдаемых двумерных эффектов, как и анизотропия проводимости кристаллов типа селенида индия, связана с особенностями реальной структуры слоистых полупроводников. Из-за политипизма и наличия азимутального беспорядка упаковки слоев в базисной плоскости кристаллов типа GaSe располагаются плоские дефекты, обуславливающие характерный потенциальный рельеф вдоль оси с<sup>5</sup>. Предположение о захвате такими дефектами электронов с образованием двумерных проводящих областей было положено в основу объяснения экспериментов по циклотронному резонансу InSe<sup>2, 3</sup>.

Из наших данных также следует наличие областей с двумерной проводимостью. Величина удельного сопротивления образца, зависимость  $R(H)$  для которого приведена на рис. 2, составляет примерно 10 кОм, что порядка предельного сопротивления двумерного металлического слоя  $\hbar/e^2 \approx 26$  кОм. Это означает, что мы регистрируем сопротивление ближайшей к поверхности области с двумерной проводимостью, а другие подобные участки, если они имеются, отделены областями с малой проводимостью.

Сказанное не исключает возможности существования области двумерного электронного газа у поверхности образца.

Области двумерной металлической проводимости могут иметь продольные размеры меньше расстояния между контактами. В этом случае осцилляции будут наблюдаться на фоне положительного магнитосопротивления (см. рис. 1), обусловленного вкладом последовательно включенных в цепь областей образца, обладающих прыжковой проводимостью.

Таким образом, рассматривая совокупность литературных и приведенных в настоящей работе данных, можно сделать вывод, что в кристаллах селенида индия при гелиевых температурах существуют области двумерного электронного газа. В квантующем магнитном поле в кинетических свойствах таких образцов наблюдаются явления, характерные для квантового эффекта Холла.

#### Литература

1. Беленький Г.П., Стопачинский В.В. УФН, 1983, 140, 233.
2. Kress-Rogers E., Nicholas R.J., Portal J.C., Chevy A. Solid State Comm., 1982, 44, 379.
3. Kress-Rogers E., Nicholas R.J., Chevy A. J. Phys. C: Solid State Phys., 1983, 16, 2439.

4. Nicholas R.J., Stradling R.A., Tidey R.J. Solid State Comm., 1977, **23**, 341.

5. Maschke K., Overhof H. Phys. Rev., 1977, **B15**, 2058.

институт физики твердого тела

Академии наук СССР

Институт физики

Академии наук Азербайджанской ССР

Поступила в редакцию

6 мая 1986 г.